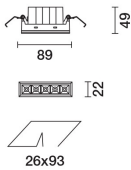


Ultimo aggiornamento delle informazioni: Febbraio 2025

Configurazione di prodotto: EJ89

EJ89: Minimal 5 celle - Wide Flood beam - LED



Codice prodotto

EJ89: Minimal 5 celle - Wide Flood beam - LED

Descrizione tecnica

Apparecchio miniaturizzato lineare ad incasso a 5 elementi ottici per sorgenti LED - ottica fissa. Nonostante le dimensioni extra-compatte del prodotto, la tecnologia brevettata del sistema ottico garantisce un flusso efficace ed un elevato comfort visivo ad abbagliamento controllato. Corpo principale con superficie radiante in fusione di alluminio, versione minimal (frameless) a filo soffitto. Per l'installazione dell'incasso sul controsoffitto è indispensabile lo specifico adattatore disponibile con codifica separata. Riflettore Opti Beam ad alta definizione in termoplastico metallizzato, integrato in posizione arretrata nello schermo antiabbagliamento. Fornito con unità di alimentazione dimmerabile DALI collegata all'apparecchio. LED bianco Neutral ad elevato valore di efficienza (lm/W).

Installazione

Inserimento del corpo incasso tramite molle in filo di acciaio sullo specifico adattatore (QJ90) precedentemente installato a soffitto - spessori consentiti 12,5 / 15 / 20 mm. Una speciale derma di protezione permette di semplificare e velocizzare le operazioni di rifinitura sul cartongesso.

Colore

Bianco (01) | Nero (04) | Oro (14)* | Cromo brunito (E6)*

Peso (Kg)

0.32

* Colori a richiesta

Montaggio

incasso a parete|incasso a soffitto

Cablaggio

Sull'unità di alimentazione con morsettieria inclusa.

Note

La speciale molla in filo di acciaio in dotazione è necessaria per facilitare l'eventuale estrazione del corpo-incasso ad inserimento avvenuto.

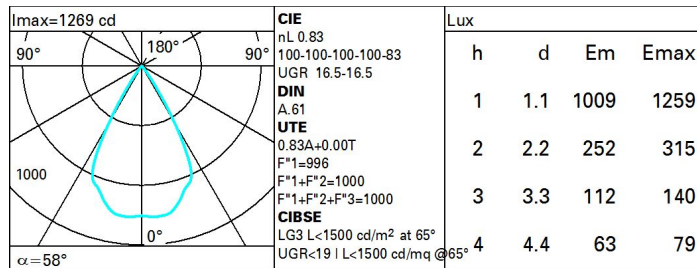
Soddisfa EN60598-1 e relative note



Dati tecnici

| | | | |
|--|------|------------------------------------|---------------------------------|
| Im di sistema: | 996 | Temperatura colore [K]: | 4000 |
| W di sistema: | 12.4 | MacAdam Step: | 2 |
| Im di sorgente: | 1200 | Life Time LED 1: | > 50,000h - L80 - B10 (Ta 25°C) |
| W di sorgente: | 9.9 | Voltaggio [Vin]: | 230 |
| Efficienza luminosa (lm/W, dati di sistema): | 80.3 | Codice lampada: | LED |
| Im in modalità emergenza: | - | Numero di lampade per vano ottico: | 1 |
| Flusso totale emesso a 90° o superiore [Lm]: | 0 | Codice ZVEI: | LED |
| Light Output Ratio (L.O.R.) [%]: | 83 | Numero di vani ottici: | 1 |
| Angolo di apertura [°]: | 58° | Control: | DALI-2 |
| CRI (minimo): | 80 | | |

Polare



Coefficienti di utilizzazione

| R | 77 | 75 | 73 | 71 | 55 | 53 | 33 | 00 | DRR |
|------|----|----|----|----|----|----|----|----|-----|
| K0.8 | 75 | 71 | 68 | 66 | 70 | 68 | 68 | 65 | 78 |
| 1.0 | 78 | 75 | 72 | 70 | 74 | 72 | 71 | 69 | 83 |
| 1.5 | 82 | 79 | 77 | 76 | 78 | 77 | 76 | 73 | 89 |
| 2.0 | 85 | 83 | 81 | 80 | 82 | 80 | 79 | 77 | 93 |
| 2.5 | 86 | 85 | 84 | 83 | 84 | 83 | 82 | 79 | 96 |
| 3.0 | 87 | 86 | 85 | 85 | 85 | 84 | 83 | 81 | 98 |
| 4.0 | 88 | 87 | 87 | 86 | 86 | 86 | 84 | 82 | 99 |
| 5.0 | 89 | 88 | 88 | 88 | 87 | 86 | 85 | 83 | 100 |

Curva limite di luminanza

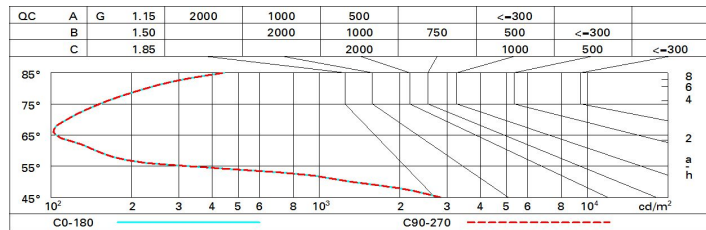


Diagramma UGR

| Corrected UGR values (at 1200 lm bare lamp luminous flux) | | | | | | | | | | | | |
|---|------|------|------|------------------|------|------|------|----------------|---------|------|------|--|
| Reflect.: | | | | | | | | | | | | |
| ceil/cav | | 0.70 | 0.70 | 0.50 | 0.50 | 0.30 | 0.70 | 0.70 | 0.50 | 0.50 | 0.30 | |
| walls | | 0.50 | 0.30 | 0.50 | 0.30 | 0.30 | 0.50 | 0.30 | 0.50 | 0.30 | 0.30 | |
| work pl. | | 0.20 | 0.20 | 0.20 | 0.20 | 0.20 | 0.20 | 0.20 | 0.20 | 0.20 | 0.20 | |
| Room dim | | | | | | | | | | | | |
| x | y | | | | | | | | | | | |
| | | | | viewed crosswise | | | | viewed endwise | | | | |
| 2H | 2H | 17.1 | 17.5 | 17.3 | 17.8 | 18.0 | 17.1 | 17.5 | 17.3 | 17.8 | 18.0 | |
| | 3H | 16.9 | 17.4 | 17.2 | 17.6 | 17.9 | 16.9 | 17.4 | 17.2 | 17.6 | 17.9 | |
| | 4H | 16.9 | 17.3 | 17.2 | 17.5 | 17.8 | 16.9 | 17.3 | 17.2 | 17.5 | 17.8 | |
| | 6H | 16.8 | 17.2 | 17.1 | 17.5 | 17.8 | 16.8 | 17.2 | 17.1 | 17.5 | 17.8 | |
| | 8H | 16.8 | 17.1 | 17.1 | 17.4 | 17.8 | 16.8 | 17.1 | 17.1 | 17.4 | 17.8 | |
| | 12H | 16.7 | 17.1 | 17.1 | 17.4 | 17.7 | 16.7 | 17.1 | 17.1 | 17.4 | 17.7 | |
| 4H | 2H | 16.9 | 17.3 | 17.2 | 17.5 | 17.8 | 16.9 | 17.3 | 17.2 | 17.5 | 17.8 | |
| | 3H | 16.7 | 17.1 | 17.1 | 17.4 | 17.7 | 16.7 | 17.1 | 17.1 | 17.4 | 17.7 | |
| | 4H | 16.6 | 16.9 | 17.0 | 17.3 | 17.7 | 16.6 | 16.9 | 17.0 | 17.3 | 17.7 | |
| | 6H | 16.5 | 16.8 | 17.0 | 17.2 | 17.6 | 16.5 | 16.8 | 17.0 | 17.2 | 17.6 | |
| | 8H | 16.5 | 16.7 | 16.9 | 17.1 | 17.6 | 16.5 | 16.7 | 16.9 | 17.1 | 17.6 | |
| | 12H | 16.4 | 16.7 | 16.9 | 17.1 | 17.5 | 16.4 | 16.7 | 16.9 | 17.1 | 17.5 | |
| 8H | 4H | 16.5 | 16.7 | 16.9 | 17.1 | 17.6 | 16.5 | 16.7 | 16.9 | 17.1 | 17.6 | |
| | 6H | 16.4 | 16.6 | 16.9 | 17.0 | 17.5 | 16.4 | 16.6 | 16.9 | 17.0 | 17.5 | |
| | 8H | 16.3 | 16.5 | 16.8 | 17.0 | 17.5 | 16.3 | 16.5 | 16.8 | 17.0 | 17.5 | |
| | 12H | 16.3 | 16.4 | 16.8 | 16.9 | 17.4 | 16.3 | 16.4 | 16.8 | 16.9 | 17.4 | |
| 12H | 4H | 16.4 | 16.7 | 16.9 | 17.1 | 17.5 | 16.4 | 16.7 | 16.9 | 17.1 | 17.5 | |
| | 6H | 16.3 | 16.5 | 16.8 | 17.0 | 17.5 | 16.3 | 16.5 | 16.8 | 17.0 | 17.5 | |
| | 8H | 16.3 | 16.4 | 16.8 | 16.9 | 17.4 | 16.3 | 16.4 | 16.8 | 16.9 | 17.4 | |
| Variations with the observer position at spacing: | | | | | | | | | | | | |
| S = | 1.0H | | 6.5 | / -24.9 | | | | 6.5 | / -24.9 | | | |
| | 1.5H | | 9.4 | / -25.6 | | | | 9.4 | / -25.6 | | | |
| | 2.0H | | 11.4 | / -25.8 | | | | 11.4 | / -25.8 | | | |